

~~Il~~ appello scritto di FMI

Lupis 2016

Disco di centro C_1 e anello di centro C_2 sono orizzontali.

Raggio del disco = R
di dell'anello = R

Massa disco = m = Massa anello

Centro C_1 su asse z.

Disco non ruota.

Anello rotola all'esterno del disco in modo che ci sia contatto nel solo punto P.

Coordinate orizzontali di P: $R(\cos\theta, \sin\theta)$

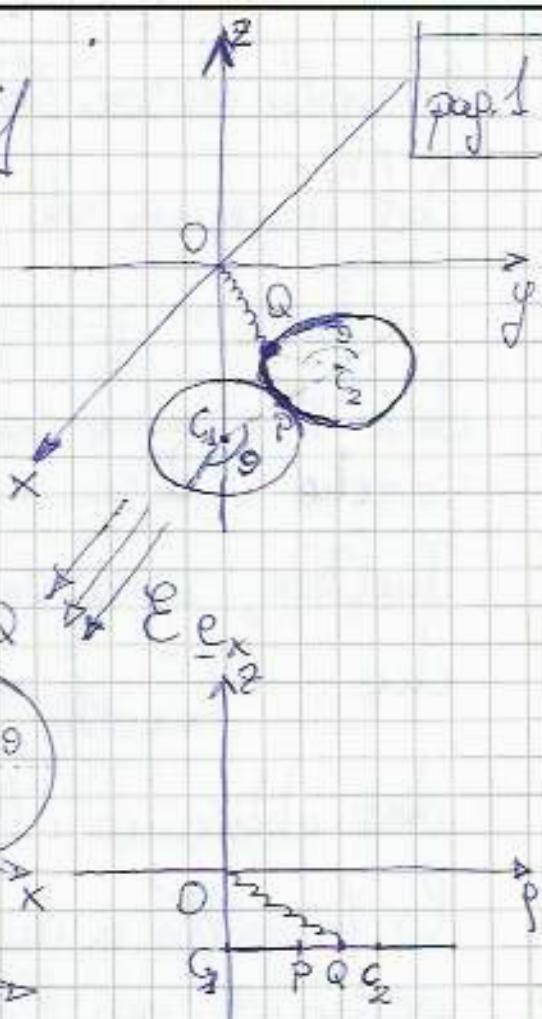
|| || || Q: $R(2\cos\theta + \cos 2\theta, 2\sin\theta + \sin 2\theta)$

Massa $Q = 0$; Carico $Q = q > 0$, campo elettrico = E_{ex} con $E > 0$; molla di costante elastica k tra O e Q.

(1) Lagraugiana ed equazioni di Lagrange -

Si calcoli la velocità dell'anello nel punto di contatto P.

Ovviamente, adottiamo z e θ come coordinate libere o lagraugiane, dato che questa orizzontale e θ è



L'angolo θ scorre nelle figure precedenti.

Pg. 2

Dal teorema di König abbiamo che

$$T_{\text{disco}} = \frac{1}{2} m v_{C_2} \cdot v_{C_2},$$

dove il termine corrispondente allo spin non compare perché il disco non ruota.

Inoltre, sempre per il teorema di König, abbiamo che $T_{\text{anello}} = \frac{1}{2} m v_{C_2} \cdot v_{C_2} + \frac{1}{2} m R^2 w^2$,

date abbiamo utilizzato il fatto che l'inerzia dell'anello (rispetto a un asse rotante al centro dell'anello e passante per il suo centro) è mR^2 .

Per determinare v_{C_2} e la vel. ang. di rotazione w ,

Osserviamo che le coord. vkt. C_2 sono

$$2R(\cos\theta, \sin\theta).$$

di conseguenza, le coord. vkt. del vettore $\vec{C_2 Q}$ (che descrive, ovviamente, la posizione di Q rispetto a C_2) sono $R(\cos 2\theta, \sin 2\theta)$;

di conseguenza, la velocità angolare di rotazione è $w = 2\dot{\theta}$;

inoltre, $v_{C_2} = (-2R\dot{\theta} \sin\theta, 2R\dot{\theta} \cos\theta, \dot{z})$

$$\rightarrow T_{\text{anello}} = \frac{1}{2} m (4R^2 \dot{\theta}^2 + \dot{z}^2) + \frac{1}{2} m (4R^2 \dot{\theta}^2)$$

Per quanto riguarda i vari termini dell'energia potenziale si osservi che

$$U = \frac{1}{2} k \overline{OQ}^2 + -q\mathcal{E}x_Q + 2mgz_Q$$

$$\begin{aligned} \text{dove } \overline{OQ}^2 &= x_Q^2 + y_Q^2 + z_Q^2 = R^2(4\cos^2\theta + 4R^2\sin^2\theta \cos^2\theta + R^2\sin^2\theta \sin^2\theta + z^2) \\ &+ 4R^2\sin^2\theta + 4R^2\sin\theta \sin\theta \cos^2\theta + R^2\sin^2\theta \sin^2\theta + z^2 = \\ &= 5R^2 + 4R^2(\cos^2\theta + \sin^2\theta) + z^2 = \\ &= 5R^2 + 4R^2\cos\theta + z^2 \end{aligned}$$

Osservando costanti additive, ottieniamo che

$$U = \frac{1}{2} k(z^2 + 4R^2\cos\theta) - q\mathcal{E}R(2\cos\theta + \cos 2\theta) + 2mgz$$

Possiamo quindi determinare la lagrangiana

$$\text{Scrivendo } L = T_{\text{disco}} + T_{\text{anello}} - U$$

$$\Rightarrow L = m\ddot{z}^2 + 4mR^2\dot{\theta}^2 - \frac{1}{2}kz^2 - 2kR^2\cos\theta + q\mathcal{E}R(2\cos\theta + \cos 2\theta) - 2mgz$$

Di conseguenza, le equazioni di Lagrange diventano

$$\left\{ \begin{array}{l} \frac{d}{dt} \frac{\partial L}{\partial \dot{z}} - \frac{\partial L}{\partial z} = 2m\ddot{z} + kz + 2mg = 0 \\ \frac{d}{dt} \frac{\partial L}{\partial \dot{\theta}} - \frac{\partial L}{\partial \theta} = 8mR^2\ddot{\theta} + 2kR^2\sin\theta + q\mathcal{E}R(\sin\theta + \sin 2\theta) = 0 \end{array} \right.$$

Per calcolare le velocità dell'anello nel punto di contatto P, utilizziamo la formula fondamentale

della cinematica rigida nel modo seguente: pag. 4

$$\underline{V}_P = \underline{V}_{C_2} + \underline{\omega} \wedge \overrightarrow{C_2 P}$$

in modo t.c. C_2 viene considerato come l'origine del sistema di riferimento "naturale" solidale al proprio rigido; di conseguenza, per quanto mostrato nelle pagine precedenti

$$\underline{\omega} = 2\dot{\theta} \underline{e}_2, \quad \overrightarrow{C_2 P} = -R(\cos\theta \underline{e}_x + \sin\theta \underline{e}_y)$$

$$\underline{V}_{C_2} = 2R\dot{\theta}(-\sin\theta \underline{e}_x + \cos\theta \underline{e}_y) + \dot{z} \underline{e}_2$$

$$\Rightarrow \underline{V}_P = -2R\dot{\theta} \sin\theta \underline{e}_x + 2R\dot{\theta} \cos\theta \underline{e}_y + -2R\dot{\theta} \cos\theta \underline{e}_2 \wedge \underline{e}_x \\ - 2R\dot{\theta} \sin\theta \underline{e}_2 \wedge \underline{e}_y + \dot{z} \underline{e}_2 - (\cancel{2R\dot{\theta} \sin\theta} + \cancel{2R\dot{\theta} \cos\theta}) \underline{e}_x \\ - \underline{e}_x \\ + (\cancel{2R\dot{\theta} \cos\theta} - \cancel{2R\dot{\theta} \sin\theta}) \underline{e}_y + \dot{z} \underline{e}_2 - \dot{z} \underline{e}_2$$

Possiamo quindi concludere che la velocità dell'anello nel punto di contatto è puramente verticale e quindi è uguale a quella di tutto il disco, quindi ~~anche~~ la velocità relativa tra disco e anello (nel punto di contatto) è nulla. In altri termini, il ~~anello~~ rotola senza strisciare all'esterno del disco stesso.

(2) Si determinino i p.ti di equilibrio e sene studi la stabilità.

Per determinare i p.ti d'equilibrio, pag. 5
studiiamo il seguente sistema di equazioni:

$$\left\{ \begin{array}{l} \frac{\partial U}{\partial z} = k_2 + 2mg = 0 \end{array} \right.$$

$$\left\{ \begin{array}{l} \frac{\partial U}{\partial \theta} = -2kR^2 \sin \theta + 2qER \sin \theta (1 + 2\cos \theta) = 0 \end{array} \right.$$

Dalla prima eq. si deduce che

$$z = -\frac{2mg}{k}$$

Dalla seconda eq. segue che

$$2qER \sin \theta \cdot \left(2\cos \theta + 1 - \frac{kR}{qE} \right) = 0$$

$$\begin{cases} \theta = 0, \pi \\ \cancel{\theta} \end{cases}$$

$$\begin{cases} \theta \\ \cancel{\theta} \end{cases}$$

$$\theta = \pm \beta \text{ dove } \beta = \arccos \left(\frac{1}{2} + \frac{kR}{2qE} \right)$$

$$\text{purché } \frac{kR}{qE} \leq \frac{3}{2}$$

$$\Rightarrow \frac{kR}{qE} \leq 3.$$

Riassumendo, i possibili p.ti di equilibrio
si hanno per $(z, \theta) \in \left\{ \left(-\frac{2mg}{k}, 0 \right), \left(-\frac{2mg}{k}, \pi \right), \left(\frac{2mg}{k}, \pm \beta \right) \right\}$

dove la seconda coppia è se $\frac{kR}{qE} \leq 3$.

Possiamo ora studiare la stabilità, a questo scopo, calcoliamo l'Hessiano

$$\text{Hess } U = \begin{pmatrix} k & 0 \\ 0 & 2R(q\varepsilon - kR)\cos\vartheta + kq\varepsilon R(2\cos^2\vartheta - 1) \end{pmatrix} \quad \text{pag. 6}$$

Consideriamo ora i casi particolari

- Caso $(2, 0) = \left(-\frac{2mg}{k}, 0\right)$

$$\text{Hess } U \Big|_{\begin{array}{l} \vartheta = -\frac{2mg}{k\varepsilon} \\ \vartheta = 0 \end{array}} = \begin{pmatrix} k & 0 \\ 0 & 2R(3q\varepsilon - kR) \end{pmatrix}$$

$$\Rightarrow \det \text{Hess } U = 2kR(3q\varepsilon - kR) > 0 \text{ se } \frac{kR}{q\varepsilon} < 3.$$

Se $\frac{kR}{q\varepsilon} < 3 \Rightarrow$ i 2 autoval. sono evidentemente positivi (perché la matrice è diag.)
 \Rightarrow p.t. di equil. STABILE.

Se $\frac{kR}{q\varepsilon} = 3 \Rightarrow$ 1 autoval. è pos. e 1 è nullo
 \Rightarrow occorre un supplemento di indagine

Se $\frac{kR}{q\varepsilon} \geq 3 \Rightarrow$ 1 autoval. è pos. e 1 è neg.
 \Rightarrow p.t. di equil. INSTABILE

- Caso $(2, \pi) = \left(-\frac{2mg}{k}, \pi\right)$

$$\text{Hess } U \Big|_{\begin{array}{l} \vartheta = -\frac{2mg}{k\varepsilon} \\ \vartheta = \pi \end{array}} = \begin{pmatrix} k & 0 \\ 0 & 2R(q\varepsilon + kR) \end{pmatrix}$$

\Rightarrow 2 autovel. sono positive

Pag. 7

\Rightarrow è un p.t. di equilibrio
STABILE

Caso $(z, \theta) = \left(-\frac{2mg}{k}, \pm \beta\right)$

$$\text{Hess } J \begin{cases} z = -\frac{2mg}{k} \\ \theta = \pm \beta \end{cases} = \begin{pmatrix} k & 0 \\ 0 & 2R(q\varepsilon - kR) \left(-\frac{1}{2} + \frac{kR}{2q\varepsilon} \right) \\ & + 4q\varepsilon R^2 \left[\left(-\frac{1}{2} + \frac{kR}{2q\varepsilon} \right)^2 - 1 \right] \end{pmatrix}$$

$$= \begin{pmatrix} k & 0 \\ 0 & -q\varepsilon R + \cancel{kR + kR^2} - \frac{k^2 R^3}{q\varepsilon} * -2q\varepsilon R * -4kR^2 + 2k^2 R^3 \cancel{q\varepsilon^2} \end{pmatrix}$$

$$= \begin{pmatrix} k & 0 \\ 0 & -3q\varepsilon R - 2kR^2 + \frac{k^2 R^3}{q\varepsilon^2} \end{pmatrix} = \begin{pmatrix} k & 0 \\ 0 & R(kR - 3q\varepsilon/kR) \cancel{- 1} \end{pmatrix}$$

Se $\frac{kR}{q\varepsilon} < 3 \Rightarrow$ 1 autovel. pos.
e 1 neg.

\Rightarrow p.t. di equil. INSTABILI

Se $\frac{kR}{q\varepsilon} = 3 \Rightarrow$ 1 autovel. pos. e fermo
 \Rightarrow serve un suppl. di indagine

Se $\frac{kR}{q\varepsilon} > 3 \Rightarrow$ qua' p.t. di equil. \cancel{F}

Consideriamo ora il "caso critico" pag. 8
 $\frac{kR}{qE} = 3$.

Osserviamo che, dalla discussione effettuata in precedenza, si prospetta il classico scenario di una biforcazione e perdita di un p.t. di equilibrio instabile in corrispondenza delle transizioni del parametro kR/qE per il valore 3.

Cerchiamo allora di verificare che, quando $kR/qE = 3$, il p.t. di eq. $(-\frac{2\omega_0}{k}, 0)$ è instabile. Osserviamo che, come verrà discusso nel seguito, le eq. di Lagrange sono separabili.

In particolare, consideriamo soluzioni del tipo

$$t \mapsto \left(z(t) = -\frac{2\omega_0}{k}, \vartheta(t) \right)$$

il cui moto è puramente circolare ed è regolato dalla conservazione della seguente energia meccanica per un problema 1-D:

$$4mR^2\dot{\vartheta}^2 + U(\vartheta) = E_0,$$

$$\text{dove } U(\vartheta) = qER(6\cos\vartheta - 2\cos 2\vartheta - \cos 3\vartheta) \\ = qER(4\cos\vartheta - \cos 2\vartheta)$$

Studiamo rapidamente l'andamento di $U(\vartheta)$.

$$U'(\theta) = qER(-4\sin\theta + 4\sin\theta \cos\theta)$$

$$= 4qER \sin\theta (\cos\theta - 1)$$

$$\Rightarrow U'(\theta) = 0 \text{ per } \theta = 0, \pi$$

Cap. 9

$$U''(\theta) = qER(-4\cos\theta + 4\cos 2\theta)$$

$$\Rightarrow U''(\pi) = 8qER > 0 \Rightarrow \theta = \pi \text{ è p.t. di minimo}$$

$\Rightarrow U''(0) = 0$, continuiamo a calcolare derivate per comprendere la natura del p.t. stazionario $\theta = 0$ (c'è un min. max. flesso?).

$$U'''(\theta) = qER(+4\sin\theta - 8\sin 2\theta)$$

$$\Rightarrow U'''(0) = 0$$

$$U^{IV}(\theta) = qER(4\cos\theta - 16\cos 2\theta) = \cancel{etapp. 10}$$

$$\Rightarrow U^{IV}(0) = -12qER$$

Siccome la prima derivata che è diversa da zero tra quelle in $\theta = 0$ è quella questa è unip., allora $\theta = 0$ è un p.t. di massimo (quadratico).

Dall'analisi qualitativa del moto, segue immediatamente che quel moto

$$t \mapsto \left(-\frac{2mg}{k}, \dot{\varphi}(t) \right)$$

dove $\dot{\varphi}(0)$ è positivo a 0 e

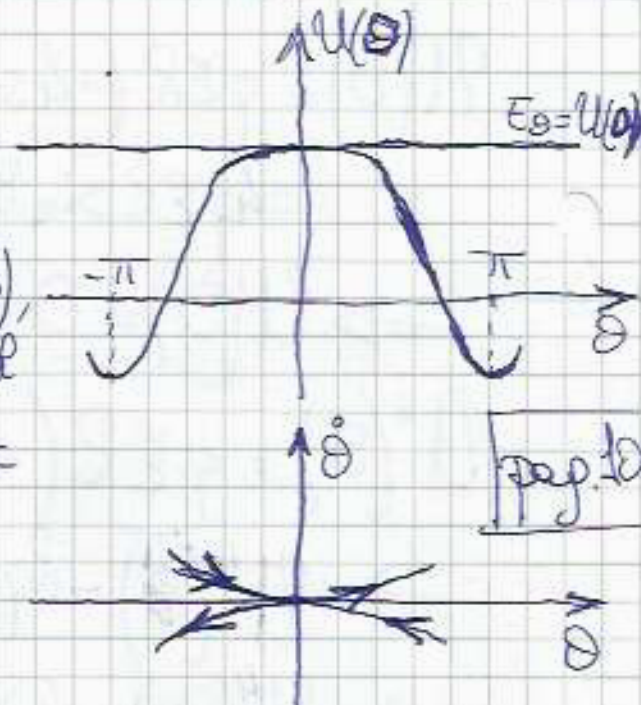
$$\dot{\varphi}(0) \text{ è t.c. } kR^2(\dot{\varphi}(0))^2 + U(\dot{\varphi}(0)) = E_0 = U(0),$$

Sono molti t.c. si allontanano dal

p.t.o di equilibrio lungo la sepe-
tazione $\Rightarrow \left(-\frac{2mg}{k}, 0 \right)$ è un

p.t.o di equilibrio INSTABILE,

$$\text{quando } \frac{kR}{g} = 3.$$



(3a) Si risolvano "per quadrature"

le eq. di Lagrange.

(3b) Si consideri un dispositivo meccanico come
quello descritto nel testo, in cui tutti i parametri
sono fissati, ad eccezione di E , che può essere
variatò prima di preparare le condizioni
iniziali e osservare il conseguente moto.

Si dimostri che fissa-to valore M si ha
triammette prude, $\dot{\varphi}$ delle piccole oscil-
lazioni t.c. il rapporto

$$\frac{T_0}{T_2} > M,$$

dove T_0 e T_2 sono rispettivamente i periodi di
oscillazione del moto orizzontale e di
quello verticale.

(3a) L'osservazione fondamentale è che l'app.
le eq. di Laprige si separano, cioè
la prima non dipende da $\dot{\theta} / (\epsilon \dot{\theta}, \ddot{\theta})$ e
la seconda non dipende da $z^2 (\epsilon z, \dot{z})$.

La prima eq. di Lapr., cioè

$$2\mu\ddot{z} + k_2 + 2\mu g = 0,$$

~~è del tipo dell'~~ oscillatore armonico
pesante, ne segue che

$$z(t) = A \cos(\omega t + \phi) - \frac{2\mu g}{k},$$

dove $\omega = \sqrt{\frac{k}{2\mu}}$ e (A, ϕ) sono costanti di integra-
zione fissate dalle cond. iniz.

Per quanto riguarda la seconda eq. diff.,
ricordiamo che vale la conservazione dell'ener-
gia per la componente orizzontale del moto:

$$4\mu R^2 \dot{\theta}^2 + U(\theta) = E_0,$$

Come discusso nel p.to (2), dove si ~~passano~~ trova la
definizione di $U(\theta)$.

Procedendo per separazione di variabili, si ottiene

$$\dot{\theta} = \pm \sqrt{\frac{E_0 - U(\theta)}{4\mu R^2}} \Rightarrow t - t_0 = \int_{\theta_0}^{\theta} d\theta \sqrt{\frac{4\mu R^2}{E_0 - U(\theta)}},$$

Ciò è la soluzione per qualsiasi delle eq. $\frac{d\theta}{dt}$, $\frac{dz}{dt}$.

Osserviamo che il periodo

$$T_2 = 2\pi \sqrt{\frac{2m}{k}} \quad \text{non dipende dalle condizioni iniziali.}$$

Nel limite di piccole oscillazioni, possiamo avere come periodo del moto nel piano

$$T_0 = 2\pi \sqrt{\frac{8mR^2}{U''(\pi)}},$$

oppure, limitandamente al caso $\frac{kR}{qe} < 3$,

$$T_0 = 2\pi \sqrt{\frac{8mR^2}{U''(0)}}.$$

Ricordiamo che

$$U''(\theta) = (-2kR^2 + 2qeR) \cos \theta + 4qeR \cos 2\theta$$

$$\Rightarrow U''(\pi) = 2(kR + qe)R$$

$$\Rightarrow \frac{T_0}{T_2} = \sqrt{\frac{8mR^2}{2(kR + qe)R}} \frac{k}{2m} = \sqrt{\frac{2}{1 + \frac{qe}{kR}}} < 2.$$

Per avere che il rapporto $T_0/T_2 > 1$ con arbitrio
trattenuto grande, occorre ~~che~~ considerare
oscillazioni attorno a $\theta = 0$, cioè

$$\frac{T_0}{T_2} = \sqrt{\frac{8mR^2}{U''(0)}} \frac{k}{2m} = \sqrt{\frac{4^2}{(6^3 \frac{qe}{kR} - 2^4)}}$$

Siccome deve essere $\frac{kR}{qe} < 3$, allora prendiamo

$$\frac{q\varepsilon}{kR} \gtrsim \frac{1}{3}, \text{ più esattamente per fissato } H > 1, \text{ più}$$

$$\text{mo } \frac{q\varepsilon}{kR} = \frac{1}{3} + \frac{1}{6H^2}$$

[pag 13]

$$\Rightarrow \frac{T_0}{T_2} = \sqrt{\frac{2}{3} \frac{1}{\frac{q\varepsilon}{kR} - \frac{1}{3}}} = \sqrt{\frac{2}{3} \frac{1}{\frac{1}{6H^2}}} = \sqrt{\frac{2}{3} \frac{6H^2}{1}} = 2H$$

Basta quindi prendere delle oscillazioni piccole attorno a $\frac{-2H^2}{k}$ per quanto riguarda il moto verticale e, per quanto concerne il moto orizzontale, con valore massimo di ϑ abbastanza piccolo che

$$\frac{T_0}{T_2} > H.$$

Questo è sicuramente possibile, per il teorema delle piccole oscillazioni, quando

$$\varepsilon = \left(\frac{1}{3} + \frac{1}{6H^2} \right) \frac{kR}{9},$$

perché abbiamo verificato che

$$\lim_{E_0 \rightarrow U(0)^+} \frac{T_0}{T_2} = 2H.$$